



应用 Diophantine 方程的多通道最优去卷¹⁾

邓自立 刘伟华 石 莹

(黑龙江大学应用数学研究所 哈尔滨 150080)

摘要 应用时域上的现代时间序列分析方法,提出了具有 ARMA 新息滤波器形式的多通道最优去卷估值器. 它要求解一个 Diophantine 方程,可处理非平稳输入信号,且可统一处理最优去卷滤波、平滑和预报问题. 仿真例子说明了其有效性.

关键词 多通道最优去卷, Diophantine 方程, ARMA 新息滤波器, 现代时间序列.

MULTICHANNEL OPTIMAL DECONVOLUTION USING DIOPHANTINE EQUATIONS

DENG Zili LIU Weihua SHI Ying

(Institute of Applied Mathematics, Heilongjiang University, Harbin 150080)

Abstract Using the modern time series analysis method, this paper presents the multichannel optimal deconvolution estimators described by the autoregressive moving average (ARMA) innovation filter, which require the solution of a Diophantine equation. They can handle the nonstationary input signals and can handle the optimal deconvolution filtering, smoothing and prediction problems in a unified framework. A simulation example shows their usefulness.

Key words Multichannel optimal deconvolution, diophantine equation, ARMA innovation filter, modern time series.

1 引言

由系统输出估计其输入叫去卷(Deconvolution)或反卷积. 它有广泛的应用领域(例如油田地震勘探、通讯等). 考虑多通道最优去卷问题

$$y(t) = \Phi^{-1}\Psi s(t) + \eta(t), \quad (1)$$

$$s(t) = A^{-1}Cw(t), \eta(t) = P^{-1}\dot{R}v(t), \quad (2)$$

1)国家自然科学基金(69774019)资助项目.

其中输出 $\mathbf{y}(t) \in R^m$; 输入 $\mathbf{s}(t) \in R^n$; 有色噪声 $\eta(t) \in R^m$, $\mathbf{w}(t) \in R^r$ 和 $\mathbf{v}(t) \in R^s$ 是零均值、方差阵分别为 \mathbf{Q}_w 和 \mathbf{Q}_v 的独立白噪声; Φ, Ψ, \dots, R 是单位滞后算子 q^{-1} ($q^{-1}\mathbf{s}(t) = \mathbf{s}(t-1)$) 的多项式矩阵, 形如 $X = X(q^{-1}) = X_0 + X_1 q^{-1} + \dots + X_{n_x} q^{-n_x}$, X_i 为系数阵, $n_x = \deg(X)$ 为阶次. 设 $\Phi_0 = I_m$, $A_0 = I_n$, $P_0 = I_m$, I_i 为 $i \times i$ 单位阵. 最优去卷问题是基于 $(\mathbf{y}(t+N), \mathbf{y}(t+N-1), \dots)$ 求输入 $\mathbf{s}(t)$ 的最优(线性最小方差)估值器 $\hat{\mathbf{s}}(t|t+N)$. 对 $N=0, N>0, N<0$ 分别称为去卷滤波器、平滑器和预报器.

2 多通道最优去卷估值器

将式(2)代入式(1), 有 $P\mathbf{y}(t) = P\Phi^{-1}\Psi A^{-1}C\mathbf{w}(t) + R\mathbf{v}(t)$, 引入左素分解 $P\Phi^{-1} = \tilde{\Phi}^{-1}\tilde{P}$, 带 $\tilde{P}_0 = I_m$, $\tilde{\Phi}_0 = I_m$, 则有

$$\tilde{\Phi}P\mathbf{y}(t) = \tilde{P}\Psi A^{-1}C\mathbf{w}(t) + \tilde{\Phi}R\mathbf{v}(t); \quad (3)$$

引入左素分解 $\tilde{P}\Psi A^{-1} = \tilde{A}^{-1}\tilde{G}$, 带 $\tilde{A}_0 = I_m$, 则可得 ARMA 新息模型

$$\tilde{A}\tilde{\Phi}P_y(t) = D\boldsymbol{\epsilon}(t), \quad (4)$$

其中 D 是稳定的, $D_0 = I_m$, 新息 $\boldsymbol{\epsilon}(t) \in R^m$ 是零均值、方差阵为 \mathbf{Q}_ϵ 的白噪声, 且

$$D\boldsymbol{\epsilon}(t) = \tilde{G}C\mathbf{w}(t) + \tilde{A}\tilde{\Phi}R\mathbf{v}(t). \quad (5)$$

D 和 \mathbf{Q}_ϵ 可用谱分解或 Gevers 和 Wouters 算法^[1]求得.

引理1^[2]. 最优白噪声估值器为

$$\hat{\mathbf{w}}(t|t+N) = \mathbf{Q}_w \Pi_N^* \mathbf{Q}_\epsilon^{-1} \boldsymbol{\epsilon}(t), \quad \hat{\mathbf{v}}(t|t+N) = \mathbf{Q}_v F_N^* \mathbf{Q}_\epsilon^{-1} \boldsymbol{\epsilon}(t), \quad (6)$$

其中 Π_N^* 和 F_N^* 有形式 $X_N^* = X_0^\top + X_1^\top q + \dots + X_N^\top q^N$, q 是单位正向算子, $q\boldsymbol{\epsilon}(t) = \boldsymbol{\epsilon}(t+1)$.

定义 $\Pi_N^* = O(N < 0)$, $F_N^* = O(N < 0)$, 且 Π_i 和 F_i 可递推计算为

$$\Pi_i = -D_1 \Pi_{i-1} - \dots - D_{n_d} \Pi_{i-n_d} + M_i, \quad \Pi_i = O(i < 0), \quad M_i = O(i > n_m), \quad M = \tilde{G}C, \quad (7)$$

$$F_i = -D_1 F_{i-1} - \dots - D_{n_d} F_{i-n_d} + L_i, \quad F_i = O(i < 0), \quad L_i = O(i > n_l), \quad L = \tilde{A}\tilde{\Phi}R. \quad (8)$$

引理2. 最优输出预报器为

$$\hat{\mathbf{y}}(t|t+N) = (\tilde{A}\tilde{\Phi}P)^{-1} J_N \boldsymbol{\epsilon}(t+N), \quad (9)$$

这里 J_N 由下式决定

$$D = (\tilde{A}\tilde{\Phi}P)E_N + q^N J_N (N < 0), \quad J_N = Dq^{-N} (N \geq 0), \quad (10)$$

其中 $\deg(E_N) = -(N+1)$, $\deg(J_N) = \max(\deg(\tilde{A}\tilde{\Phi}P)-1, n_d+N)$.

证明. 由式(4)有 $\mathbf{y}(t) = (\tilde{A}\tilde{\Phi}P)^{-1} D\boldsymbol{\epsilon}(t)$, 利用式(10)即可得式(9).

定理1. 多通道最优去卷估值器为

$$\hat{As}(t|t+N) = K_N \boldsymbol{\epsilon}(t+N), \quad (11)$$

它是 ARMA 新息滤波器, 其中

$$K_N = K_\alpha + C\mathbf{Q}_w \Pi_N^* \mathbf{Q}_\epsilon^{-1} q^{-N}. \quad (12)$$

上式中 K_α 连同 K_β 和 K_r 是如下 Diophantine 方程

$$\tilde{G}K_\alpha + \tilde{A}\tilde{\Phi}K_\beta + \tilde{A}\tilde{\Phi}K_r = [J_N q^N - \tilde{G}C\mathbf{Q}_w \Pi_N^* \mathbf{Q}_\epsilon^{-1} - \tilde{A}\tilde{\Phi}R\mathbf{Q}_v F_N^* \mathbf{Q}_\epsilon^{-1}]q^{-N} \quad (13)$$

的唯一解, 其中 $\deg(K_\alpha) = n_\alpha - 1$, $\deg(K_\beta) = n_\beta - 1$, $\deg(K_r) = n_r - 1$.

证明. 式(1)和(2)有状态空间模型

$$\alpha(t+1) = \bar{A}\alpha(t) + \bar{C}w(t), s(t) = \tilde{H}_1\alpha(t) + C_0w(t), \quad (14)$$

$$\beta(t+1) = \bar{\Phi}\beta(t) + \bar{\Psi}s(t), y(t) = \tilde{H}_2\beta(t) + \Psi_0s(t) + \eta(t), \quad (15)$$

$$\gamma(t+1) = \bar{P}\gamma(t) + \bar{R}v(t), \eta(t) = \tilde{H}_3\gamma(t) + R_0v(t), \quad (16)$$

其中 (\bar{A}, \bar{H}_1) , $(\bar{\Phi}, \bar{H}_2)$ 和 (\bar{P}, \bar{H}_3) 均为块伴随形^[1]. 合并式(14)–(16), 有增广系统

$$x(t+1) = \bar{A}x(t) + \Gamma\xi(t), y(t) = \bar{H}x(t) + \delta(t), \quad (17)$$

其中 $x(t) = [\alpha^T(t), \beta^T(t), \gamma^T(t)]^T$, $\xi(t) = [w^T(t), v^T(t)]^T$, $\delta(t) = \Psi_0C_0w(t) + R_0v(t)$,

$$\bar{A} = \begin{bmatrix} \bar{A} & O & O \\ \bar{\Psi}\bar{H}_1 & \bar{\Phi} & O \\ O & O & \bar{P} \end{bmatrix}, \quad \Gamma = \begin{bmatrix} \bar{C} & O \\ \bar{\Psi}C_0 & O \\ O & \bar{R} \end{bmatrix}, \quad \bar{H} = [\Psi_0\bar{H}_1, \bar{H}_2, \bar{H}_3]. \quad (18)$$

设 $(\tilde{A}\tilde{\Phi}P, \tilde{G}C, \tilde{A}\tilde{\Phi}R)$ 左素, 可证明增广系统是完全可观、可控的, 故存在稳态 Kalman 估值器

$$\hat{x}(t+1|t+1+N) = \bar{A}\hat{x}(t|t+N) + \bar{\Gamma}\hat{\xi}(t|t+N) + \bar{K}_N\varepsilon(t+1+N). \quad (19)$$

置 $\bar{K}_N = [\bar{K}_\alpha^T, \bar{K}_\beta^T, \bar{K}_\gamma^T]^T$ 和 $\bar{K}_x = [K_{x0}^T, \dots, K_{xn_x}^T]^T$, $x = \alpha, \beta, \gamma$, K_α 为 $n \times m$ 阵, $K_{\beta i}$ 和 $K_{\gamma i}$ 为 $m \times m$ 阵, 则子系统 Kalman 估值器为

$$\hat{\alpha}(t+1|t+1+N) = \bar{A}\hat{\alpha}(t|t+N) + \bar{C}\hat{w}(t|t+N) + \bar{K}_\alpha\varepsilon(t+1+N), \quad (20)$$

$$\hat{s}(t|t+N) = \bar{H}_1\hat{\alpha}(t|t+N) + \bar{C}_0\hat{w}(t|t+N), \quad (21)$$

$$\hat{\beta}(t+1|t+1+N) = \bar{\Phi}\hat{\beta}(t|t+N) + \bar{\Psi}\hat{s}(t|t+N) + \bar{K}_\beta\varepsilon(t+1+N), \quad (22)$$

$$\hat{y}(t|t+N) = \bar{H}_2\hat{\beta}(t|t+N) + \bar{\Psi}_0\hat{s}(t|t+N) + \hat{\eta}(t|t+N), \quad (23)$$

$$\hat{\gamma}(t+1|t+1+N) = \bar{P}\hat{\gamma}(t|t+N) + \bar{R}\hat{v}(t|t+N) + \bar{K}_\gamma\varepsilon(t+1+N), \quad (24)$$

$$\hat{\eta}(t|t+N) = \bar{H}_3\hat{\gamma}(t|t+N) + R_0\hat{v}(t|t+N). \quad (25)$$

因 (\bar{A}, \bar{H}_1) , $(\bar{\Phi}, \bar{H}_2)$ 和 (\bar{P}, \bar{H}_3) 为块伴随形, 故式(20)和(21), 式(22)和(23), 式(24)和(25)各等价于如下 ARMA 模型^[1]:

$$A\hat{s}(t|t+N) = C\hat{w}(t|t+N) + K_\alpha\varepsilon(t+N), \quad (26)$$

$$\bar{\Phi}\hat{y}(t|t+N) = \bar{\Psi}\hat{s}(t|t+N) + K_\beta\varepsilon(t+N) + \bar{\Phi}\hat{\eta}(t|t+N), \quad (27)$$

$$P\hat{\eta}(t|t+N) = R\hat{v}(t|t+N) + K_\gamma\varepsilon(t+N), \quad (28)$$

其中 $K_x = K_{x0} + K_{x1}q^{-1} + \dots + K_{xn_x}q^{-n_x}$, $x = \alpha, \beta, \gamma$, 且 $n_\alpha = n_\alpha - 1$, $n_\beta = n_\beta - 1$, $n_\gamma = n_\gamma - 1$. 将式(9), (26) 和 (28) 代入式(27), 并利用式(6)和引入的左素分解, 经整理后有

$$J_N\varepsilon(t+N) = [\tilde{G}CQ_w\Pi_N^*Q_\varepsilon^{-1}q^{-N} + \tilde{G}K_\alpha + \tilde{A}\tilde{P}K_\beta + \tilde{A}\tilde{\Phi}RQ_vF_N^*Q_\varepsilon^{-1}q^{-N} + \tilde{A}\tilde{\Phi}K_\gamma]\varepsilon(t+N), \quad (29)$$

这引出式(13). 置 $\tilde{P}K_\beta + \tilde{\Phi}K_\gamma = K_\omega$, 则式(13)化为

$$\tilde{G}K_\alpha + \tilde{A}K_\omega = [J_Nq^N - \tilde{G}CQ_w\Pi_N^*Q_\varepsilon^{-1} - \tilde{A}\tilde{\Phi}RQ_vF_N^*Q_\varepsilon^{-1}]q^{-N}. \quad (30)$$

因 (\tilde{G}, \tilde{A}) 左素, $n_\alpha = n_\alpha - 1$, 由文[3]知式(30)有唯一解 (K_α, K_ω) . 因 $(\tilde{P}, \tilde{\Phi})$ 左素, $n_\beta = n_\beta - 1$, 由文[3] $\tilde{P}K_\beta + \tilde{\Phi}K_\gamma = K_\omega$ 有唯一解 (K_β, K_γ) . 故式(13)有唯一解 $(K_\alpha, K_\beta, K_\gamma)$.

推论1. K_α 由 Diophantine 方程(30)唯一决定.

显然, 由式(30)求 K_α 要比由式(13)求 K_α 简单.

注意, $\varepsilon(t)$ 可由式(4)置新息初值后递推计算^[2], 而式(11)的计算与新息初值和 $\hat{s}(t|t+N)$ 的初值两者有关. 若 A 稳定, 易知式(11)关于这两种初值是渐近稳定的, 因而其初

值可任意选取. 若 A 不稳定, 则应由文[2]给出的非递推最优状态估值器 $\hat{x}(t|t+N)$ 求最优初值 $\hat{s}(t|t+N)$, 才能保证式(11)关于新息初值是渐近稳定的.

3 仿真例子

考虑二通道非平稳输入 $s(t)$ 的最优去卷问题(1)和(2), 其中 $\Phi = I_2 + \Phi_1 q^{-1}$, $\Psi = I_2 q^{-1}$, $P = I_2 + P_1 q^{-1}$, $R = I_2$, $A = I_2 + A_1 q^{-1}$, $C = C_1 q^{-1}$, $Q_w = \text{diag}(1, 1)$, $Q_v = \text{diag}(2, 2)$, $A_1 = \begin{bmatrix} -1 & 0 \\ 2 & -0.15 \end{bmatrix}$, $C_1 = \begin{bmatrix} 1 & -2 \\ -2.5 & 1 \end{bmatrix}$, $\Phi_1 = \begin{bmatrix} -0.8 & 0 \\ -0.9 & -0.5 \end{bmatrix}$, $P_1 = \begin{bmatrix} 0.85 & 0 \\ 0 & -0.4 \end{bmatrix}$, 且 $s(t) = [s_1(t), s_2(t)]^T$. 对 $N = -1$, 用本文方法仿真结果如图1和图2所示.

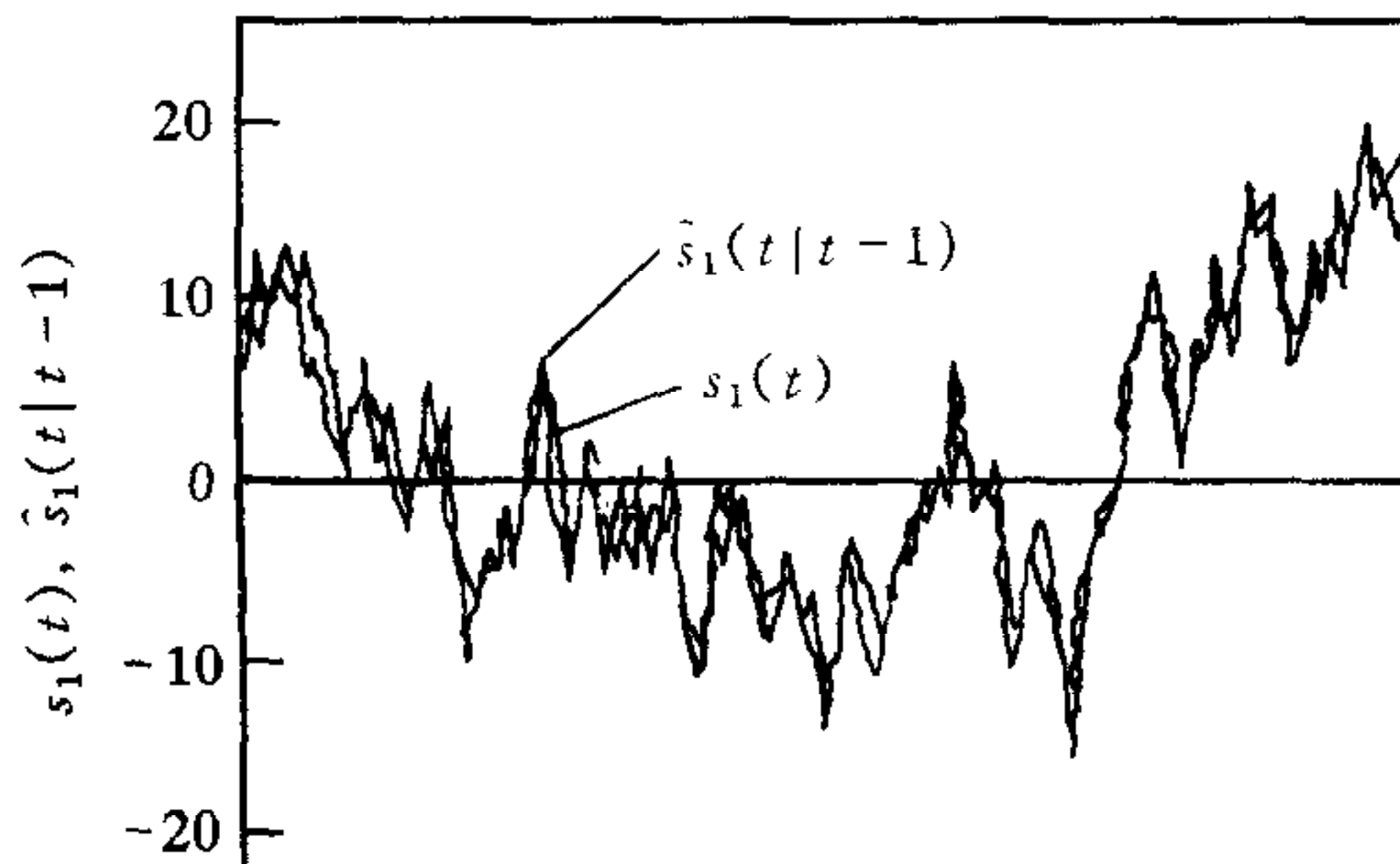


图1 $s_1(t)$ 和最优去卷预报器 $\hat{s}_1(t|t-1)$

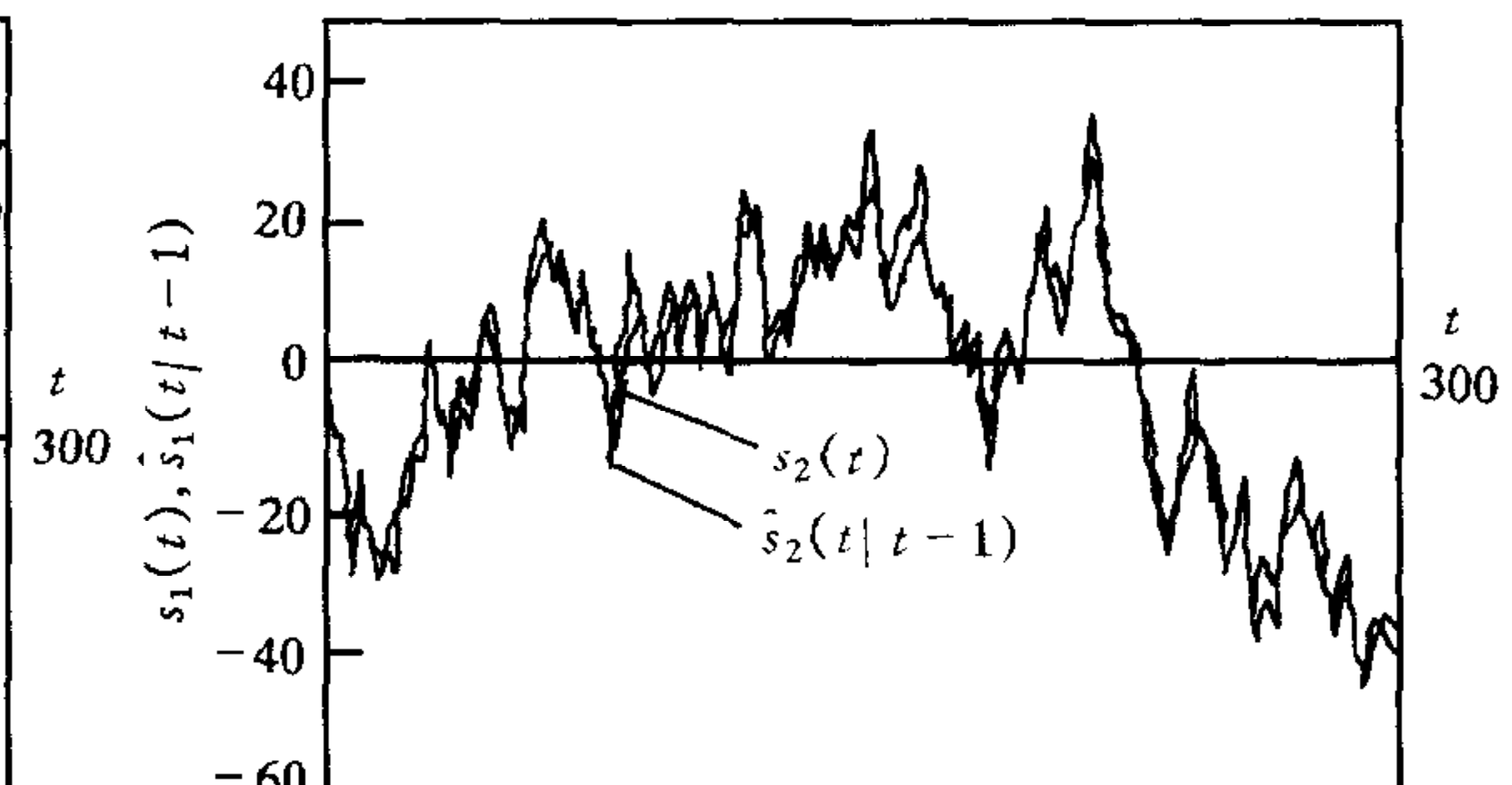


图2 $s_2(t)$ 和最优去卷预报器 $\hat{s}_2(t|t-1)$

参 考 文 献

- 1 邓自立, 郭一新. 现代时间序列分析及其应用. 北京: 知识出版社, 1989
- 2 Deng Zih et al. Optimal and self-tuning white noise estimators with applications to deconvolution and filtering problems. *Automatica*, 1996, 32(2): 199–216
- 3 Feinstein J, Bar-Ness Y. The solution of the matrix polynomial equation $A(s)X(s) + B(s)y(s) = C(s)$. *IEEE Trans. Autom. Control*, 1984, 29(1): 75–77

邓自立 1938年生, 1962年毕业于黑龙江大学数学系, 现为黑龙江大学应用数学研究所教授. 主要研究领域为状态估计、最优滤波、信号处理、反卷积等. 发表论文150余篇.

刘伟华 1971年生, 1994年毕业于哈尔滨师范大学数学系, 1997年获自动控制理论及应用专业硕士学位. 主要研究领域为最优滤波、反卷积.

石 萤 1971年生, 1993年毕业于黑龙江大学系统科学系, 1996年获自动控制理论及应用专业硕士学位. 主要研究领域为状态估计、反卷积.